

## ردیابی ژنهای کنترل کننده صفات مورفولوژیک ریشه و اندامهای هوایی برنج در رگه‌های نوترکیب جمعیت برنج ایرانی حاصل از تلاقی عنبربو × سپیدرود

حسین صبوری<sup>۱\*</sup>، شریفه محمدآلق<sup>۲</sup>، رضا کریم کشته<sup>۳</sup> و محبوبه نجار عجم<sup>۴</sup>

<sup>۱</sup> گنبد کاووس، دانشگاه گنبد کاووس، دانشکده کشاورزی و منابع طبیعی، گروه تولیدات گیاهی

<sup>۲</sup> گنبد کاووس، دانشگاه گنبد کاووس، دانشکده کشاورزی و منابع طبیعی، گروه بیوتکنولوژی

<sup>۳</sup> کرج، دانشگاه پیام نور کرج، گروه بیوتکنولوژی

<sup>۴</sup> رشت، دانشگاه گیلان، دانشکده کشاورزی، گروه زراعت و اصلاح نباتات

تاریخ پذیرش: ۹۳/۱۰/۱۶ تاریخ دریافت: ۹۴/۱۲/۱۴

### چکیده

به منظور ردیابی مکانهای ژنی کنترل کننده صفات (QTLs) مورفولوژیک ریشه و اندام هوایی، تعداد ۹۶ لاین نسل هشتم تلاقی عنبر بو × سپیدرود از تلاقی بین دو رقم سپیدرود و عنبربو در مزرعه تحقیقاتی واقع در شهرستان علیآباد در سال زراعی ۱۳۹۰ کشت شدند. صفات مورد بررسی شامل میانگین طول ریشه‌ها، مجموع طول ریشه‌ها، تعداد ریشه‌های کمتر از ۵ سانتیمتر، تعداد ریشه‌های بین ۶-۷ سانتیمتر، تعداد ریشه‌های بین ۸-۲۰ سانتیمتر، تعداد ریشه‌های بیشتر از ۳۰ سانتیمتر، تعداد کل ریشه، ارتفاع گیاه، وزن تر ریشه، وزن خشک ریشه، حجم ریشه، وزن خوش‌های، تعداد خوش‌های، وزن کاه، طول خوش، تعداد دانه پر در خوش و تعداد خوش‌چه اولیه در خوش بودند. نقشه پیوستگی با استفاده از ۱۲۴ نشانگر ریزماهواره و ۲۶۴ نشانگر AFLP در طی سالهای ۱۳۹۰ تا ۱۳۹۲ در آزمایشگاه ژنتیک و اصلاح نباتات دانشگاه گنبد کاووس تشکیل شد که ۱۹۵۰/۴ سانتیمتر گان از ژنوم برنج را پوشش داد. در این مطالعه مناطقی از کروموزوم ۱، ۴ و ۶ به ترتیب در فواصل نشانگری E100-M140-7-RM3520، E100-M160-3-RM1359 و E060-M160-3-RM160-3 و E120-M160-3-RM276-E120-M160-3-RM1359 شناسایی شد که چندین صفت را در شرایط نرمال تحت کنترل داشتند. نتایج نشان داد که QTL‌های کنترل کننده وزن خشک، وزن تر و تعداد ریشه روی کروموزوم ۷ با همدیگر همپوشانی دارند. QTL‌های حجم ریشه (qRVN-4a، qRVN-2a) و تعداد ریشه (qRVN-4b) با توجیه بیش از ۲۰ درصد از تنوع فنوتیپی صفات، بزرگ اثر تشخیص داده شدند. از QTL‌های بزرگ اثر ردیابی شده در این مطالعه پس از تعیین اعتبار می‌توان در برنامه‌های اصلاحی انتخاب به کمک نشانگر استفاده نمود.

واژه‌های کلیدی: برنج، AFLP، ریزماهواره، مکانیابی QTL، انتخاب به کمک نشانگر

\* نویسنده مسئول، تلفن: ۰۱۷۳۳۲۲۸۸۸۳، پست الکترونیکی: Hos.sabouri@Gmail.com

### مقدمه

آسیا تولید و مصرف می‌شود (۲۸). از آنجایی که فنوتیپ صفات کمی به دلیل کنترل آنها بوسیله چندین ژن و اثر محیط، اطلاعات کافی از ژنوتیپ آنها به دست نمی‌دهد، از این‌رو اصلاح این‌گونه صفات مشکل می‌باشد و بیبود آنها صرفاً با استفاده از روش‌های اصلاح نباتات کلاسیک زمان

برنج (*Oryza sativa* L.), در چرخه غذایی جهان نقش مهمی دارد، بطوری که غذای اصلی بیش از ۵۰ درصد مردم جهان را تأمین می‌کند و تقریباً زنده ماندن سه چهارم فقیرترین مردم دنیا وابسته به برنج است. برنج از گیاهان زراعی مهم در قاره آسیاست و بیش از ۹۰ درصد آن در

کردن و پنج صفت مورفولوژیکی ساختار خوش را در دو سال مورد تجزیه QTL قرار دادند. در بررسی آنها ۲۸ QTL برای این پنج صفت روی ۱۱ کروموزوم شناسایی شد. همچنین این محققین لاینهای نسبی همزن را برای دو QTL بزرگ اثر qSBN1 و qPBN6 به ترتیب برای تعداد خوش‌های اولیه و ثانویه تشکیل دادند و تجزیه فنتوپیپی این لاینهای نشان داد این QTL‌ها مستقل‌اً روی عملکرد خوش‌نقش دارند و لاینی که دارای هر دو QTL بود تعداد خوش‌چه بیشتری تولید نمود. آن‌ها اذعان داشتند اثرات تجمعی QTL‌های توزیع شده در سراسر ژنوم اساس ژنتیکی اصلی ساختار خوش را در برنج تشکیل می‌دهد. صبوری و همکاران (۲) برای بررسی اثر ژنها و تهیه نقشه پیوستگی در جمعیت برنج ایرانی از ۱۹۲ فرد حاصل از تلاقی ارقام غریب و خرر استفاده نمودند. این محققین تجزیه QTL را برای هشت صفت زراعی از جمله زیست توده، تعداد روز تا گلدهی، تعداد خوش، طول خوش، ارتفاع بوته، عرض برگ پرچم، طول خروج خوش از غلاف و وزن دانه در بوته انجام دادند و بیان کردن QTL (qHD1b) کنترل کننده زودرس مؤثر می‌باشد. مک میلان و همکاران (۱۷) با استفاده از ۱۶۸ لاین خالص نوترکیب حاصل از تلاقی ارقام Bala و Auzena اهمیت اثر متقابل ژنتیک و محیط را برای صفات مرتبط با ریشه در برنج را بررسی کرden و نقشه پیوستگی را با استفاده از ۱۰۲ نشانگر AFLP، ۳۲ نشانگر SSR با طول ۱۹۱۶ سانتی‌مورگان تهیه نمودند. آنها توانستند در مجموع ۱۴۵ QTL روی ۳۷ ناحیه از کروموزومهای برنج شناسایی کنند که از این تعداد فقط پنج QTL با محیط اثر متقابل نشان دادند. همچنین Qu و همکاران (۲۱) مکانهای مرتبط با صفات ریشه (ضخامت، تعداد، بیشترین طول، وزن تر و خشک ریشه) را در ۵ مرحله رشدی مختلف برنج مانند گیاهچه، پنجه‌زنی، گلدهی، پرشدن دانه و رسیدگی تشخیص دادند. همبستگی فنتوپیپی در مطالعه آنها نشان داد

بر بوده و همچنین پتانسیل این روشها دیگر جواب‌گوی نیاز کنونی نیست (۱۲). امروزه بهنژادگران با استفاده از روش‌های مولکولی تا حدودی به این مشکل فائق آمده‌اند. پیشرفت سریع در ژنتیک مولکولی به ویژه در زمینه نشانگرهای مولکولی به محققان در فهم اساس ژنتیکی صفات کمی مانند صفات مرتبط با عملکرد و اجزای آن، صفات زراعی و مرفولوژیک و صفات مرتبط با کیفیت دانه و اصلاح واریته‌های برنج با عملکرد و کیفیت دانه برتر کمک شایانی کرده است (۱۱). شناسایی QTL‌ها یا جایگاههای ژنومی کنترل کننده صفات کمی و تعیین پارامترهای ژنتیکی آنها در تعیین عمل ژن، تنظیم و بیان ژن و افزایش اطلاعات در زمینه ژنوم کمک می‌کند و به به-نژادگر این امکان را می‌دهد تا ارزیابی دقیقی از ژنهای کنترل کننده این صفات داشته و روش‌های صحیحی را در اصلاح این‌گونه صفات به کار گیرد (۸ و ۱۰ و ۱۲). هیتالمانی و همکاران (۱۳) با استفاده از یک جمعیت هاپلوباید مضاعف شامل ۱۲۵ لاین حاصل تلاقی لاینهای ۱۱ QTL (Azucena (Japonica) و IR64 (Indica)) صفت مهم را در سه مکان مختلف در هند انجام دادند. در کل ۳۴ QTL برای ۱۱ صفت شامل صفات زراعی و صفات وابسته به عملکرد و اجزای آن شناسایی شد. هفت QTL برای صفت طول خوش، شش QTL برای ارتفاع QTL گیاه، یک QTL برای عملکرد دانه در بوته و چهار QTL برای وزن هزار دانه شناسایی شد. آنها در بررسی خود نقاطی از ژنوم را شناسایی نمودند که در برگیرنده QTL‌هایی برای چند صفت مختلف از جمله ارتفاع بوته، طول خروج خوش از غلاف، تعداد خوش، طول کل خوش و عملکرد بیولوژیک بود و پلیوتروپی و یا پیوستگی ژنهای کنترل کننده صفات مختلف را دلیل تجانس این QTL‌ها عنوان نمودند. آندو و همکاران (۸) به منظور فهم اساس ژنتیکی صفات مرتبط با عملکرد از ۳۹ لاین جایگزین با قطعات کروموزومی حاصل از تلاقی بین رقم Habataki (Indica) و Sasanishiki (Japonica) استفاده

۱۵ بوته کشت شده به طور تصادفی انتخاب شد و با استفاده از بیل اطراف هر بوته به شعاع ۲۵ سانتیمتر مشخص شد و با عمق ۵۰ سانتیمتر بوته‌ها از خاک خارج شدند. پس از خارج سازی بوته‌ها از خاک با استفاده از روش شوولومیکس (Shovelomics) (۲۵) ابتدا بوته به مدت ۷ روز در آب غوطه‌ور گردید سپس تحت فشار آب، خاکهای اطراف ریشه‌ها خارج و سپس بوته‌ها به آزمایشگاه منتقل شد و کاملاً بخش ریشه و بخش اندام هوایی از هم جدا شد. برای ثبت خصوصیات ریشه، تک تک ریشه‌های گیاه جدا شد و نظر به نقش طول و عمر ریشه در میزان جذب آب توسط ریشه در برنج (۲۹)، تعداد ریشه‌های کمتر از ۵ سانتیمتر، تعداد ریشه بین ۶-۷ سانتیمتر، تعداد ریشه بین ۸-۲۰ سانتیمتر، تعداد ریشه‌های بین ۲۱-۳۰ سانتیمتر و تعداد ریشه‌های بیشتر از ۳۰ سانتیمتر جدا و طول آنها اندازه‌گیری شد. حجم ریشه‌ها از غوطه‌ور کردن ریشه‌ها در استوانه مدرج ۱۰۰۰ میلی‌لیتر اندازه‌گیری شد. وزن خشک ریشه‌ها پس از قرار دادن در آون به مدت ۴۸ ساعت اندازه‌گیری شد. با استفاده از انداههای هوایی صفات مرتبط مانند تعداد خوشة، ارتفاع گیاه، وزن ساقه، وزن کاه، طول خوشة، تعداد دانه پر، وزن دانه‌های پر و تعداد خوشچه ثبت گردیدند (شکل ۱).

**مواد گیاهی:** در این بررسی از تعداد ۹۶ لاین خالص نوترکیب نسل هشتم برنج حاصل از تلاقی ارقام عنبربو و سپیدرود استفاده شد. در این جمعیت همچنین واکنش لاینهای مذکور نسبت به اثرات اسمیتیک ناشی از مانیتول، سوربیتول و ساکارز در مرحله جوانه‌زنی در مطالعات گذشته بررسی شده است و مکانهای ژئی مرتبط با صفات تأثیر گذار در جوانه‌زنی برنج ردیابی شده است (۲، ۵ و ۶). عنبرو در شرایط تنش خشکی دارای میانگین طول ریشه، تعداد ریشه، ارتفاع، طول خوشة، تعداد دانه پر و تعداد خوشچه اولیه بیشتر و وزن کاه، وزن ریشه، حجم ریشه، وزن خوشة، تعداد خوشه کمتر می‌باشد (۳، ۴ و ۵). این لاینهای در حال تفکیک در مزرعه تحقیقاتی دانشگاه

که ضخامت ریشه در اکثر مراحل رشدی با بیشترین طول ریشه همبستگی مثبت داشته و با تعداد ریشه ارتباطی نداشته است. یوگا و همکاران (۲۶) برای مکانیابی QTL‌های کنترل کننده عمیق‌ترین ریشه (*Dro I*) از ۱۱۷ لاین خالص نوترکیب حاصل از تلاقی ارقام IR64 (رقم با ریشه‌های Kinandang Patong (رقم با ریشه‌های بلند) استفاده نمودند. QTL کنترل کننده ریشه‌های عمیق روی کروموزوم ۹ شناسایی شد که درصد از واریانس فتوتیپی کل را توجیه کرد. علاوه بر این آنها نقشه‌یابی ظرفیف این QTL را با استفاده از هشت لاین نوترکیب BC<sub>2</sub>F<sub>3</sub> انجام دادند که نشان داد QTL موردنظر در فاصله نشانگرهای RM24393 و RM7424 قرار داشت. QTL نظر به اینکه امروزه از اطلاعات مربوط به مکانیابی در بسیاری از تحقیقات، انتخاب به کمک نشانگر و تلاقی برگشتی به کمک نشانگر استفاده کاربردی شده است ولی به دلیل حجم و سختی کار در سطح مزرعه مطالعات اندکی در زمینه خصوصیات ریشه صورت گرفته است. این پژوهش به منظور تعیین مکانهای ژئی کنترل کننده این صفات و نشانگرهای مولکولی پیوسته با آنها در برنجهای بومی ایران طراحی شد و امید می‌رود بتوان از نتایج این تحقیق در برنامه‌های بهزایدی آینده مثل روش انتخاب به کمک نشانگر در جمیعتهای بومی ایران استفاده نمود.

## مواد و روشها

به منظور ردیابی مکانهای ژئی کنترل کننده صفات (QTLs) مورفو‌لوزیک ریشه و اندام هوایی، تعداد ۹۶ لاین نسل هشتم تلاقی عنبر بو × سپیدرود از تلاقی بین دو رقم سپیدرود و عنبربو در مزرعه تحقیقاتی واقع در شهرستان علی‌آباد با عرض جغرافیایی ۳۷ درجه، ۸ دقیقه و ۲۱ ثانیه و طول جغرافیایی ۵۵ درجه، ۱ دقیقه و ۸ ثانیه در سال زراعی ۱۳۹۰ کشت شدند. از هر لاین ۱۵ بوته با فاصله ۳۰ سانتی متر روی ردیف و فاصله ۴۰ سانتی متر بین ردیف کشت شدند. به منظور ثبت داده‌های فتوتیپی، ۱۰ بوته از

(۲۳) در آزمایشگاه ژنتیک دانشگاه گنبد کاووس CTAB انجام شد.

گنبد کاووس تا نسل F<sub>8</sub> به روش بالک تک بذری در طی هشت سال توسعه یافتند. پس از تهیه نمونه‌های برگی، استخراج DNA از برگ بوته‌های نسل هشتم و به روش



شکل ۱- مراحل ثبت داده‌های فنتیبی

پلی اکریل آمید ۶ درصد به منظور تعیین ژنتیپ افراد الکتروفورز شدند.

**اجرای مراحل AFLP:** آزمایشات AFLP بر اساس روش DNA و همکاران (۲۷) انجام شد. پس از هضم ژنومی با استفاده از آنزیمهای محدودگر EcoRI و MseI و اتصال سازگارسازها، در مرحله پیش تکثیر از آغازگرهای MseI و EcoRI یک نوکلئوتید انتخابی در انتهای ۳' MseI: 5'-GACTGCGTACCAATTCA-3 و EcoRI: 5'-GATGAGTCCTGAGTAAA-3 واکنش برای تکثیر DNA و برنامه دمایی در مرحله پیش تکثیر در جدول ۲ و شکل ۲ آمده است.

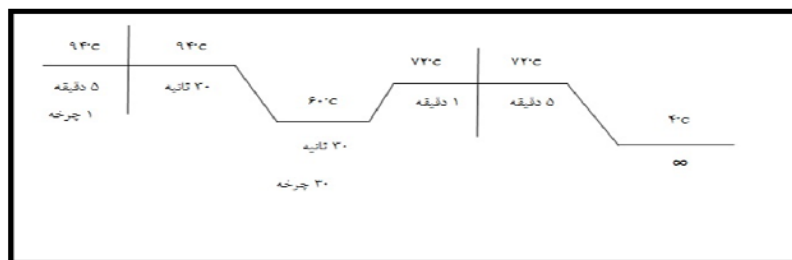
**نشانگرهای ریزماهواره:** نشانگرهای SSR از نقشه‌های ژنتیکی پایه چن و همکاران (۱۰)، تمنیخ و همکاران (۲۴) مک کوچ و همکاران (۱۸) بطور تصادفی بر روی ژنوم انتخاب شدند. اطلاعات مربوط به ریزماهواره در پایگاه اطلاعاتی Gramene (<http://gramene.org>) موجود است. از مجموع نشانگر ۳۶۵ SSR که بر روی والدین آزمایش شدند، ۱۳۶ نشانگر چندشکلی تشخیص داده شدند و در مرحله بعد نمونه‌های DNA لایه‌های نوترکیب با استفاده از ۱۲۴ آغازگر چندشکل که نواربندی واضح تری داشتند، تکثیر شدند (جدول ۱) و فرآورده‌های حاصل روی ژل

جدول ۱- مقادیر بهینه شده مواد در واکنش زنجیره ای پلیمراز (PCR)

واکنش (میکرولیتر)	واکنش (میکرولیتر)	غایضت	ماده
۱/۶	۱۵۶/۷	۱۵ میلی مول	کلرید منزیبم
۱/۰	۹۸	۱۰ برابر (۱۰X)	بافر PCR
۱/۲	۱۱۷	۱ میلی مول	مخلوط دی اکسی نوکلوتید [dNTPs]
۰/۴	۳۹/۲	۱۰ نانوگرم در میکرولیتر	آغازگر همسو
۰/۴	۳۹/۲	۱۰ نانوگرم در میکرولیتر	آغازگر معکوس
۰/۲	۱۹/۶	۱ واحد	آنزیم Taq پلیمراز
۲/۰	۲	۱۰ نانوگرم در میکرولیتر	DNA الگو
۳/۲۰	۳۱۳/۸	-	آب دوبار تقطیر استریل
۱۰	-	-	حجم کل واکنش

جدول ۲- اجزای واکنش برای تکثیر DNA در مرحله پیش تکثیر

غایضت نهایی	برای یک واکنش(میکرولیتر)	اجزاء
—	۳	DNA رقیق شده
یک برابر	۲/۵	بافر (10X) PCR
۲ میلی مولار	۰/۵	MgCl <sub>2</sub> (۱۰۰ میلی مولار)
۶۰ نانوگرم	۱	آغازگر <i>MseI</i> با یک نوکلوتید انتخابی
۶۰ نانوگرم	۱	آغازگر <i>EcoRI</i> با یک نوکلوتید انتخابی
۰/۲ میلی مولار	۲/۵	dNTPs (۲ میلی مولار)
یک واحد	۰/۲	Taq DNA Pol. (۵ واحد در میکرولیتر)
—	۱۴/۳	آب دو بار تقطیر
	۲۵	جمع



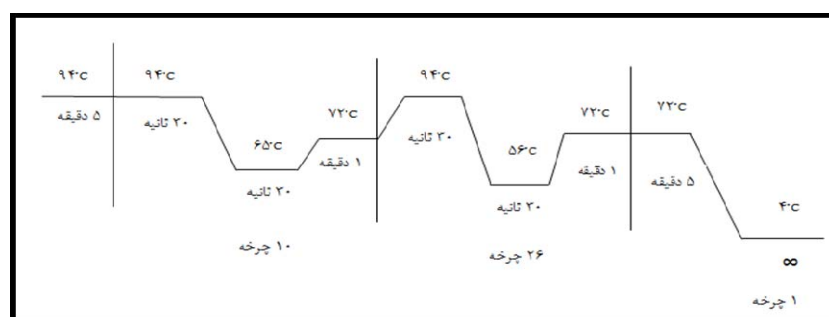
شکل ۲- برنامه دمایی برای مرحله پیش تکثیر

در این مرحله در جدول ۳ و شکل ۳ آمده است. ترکیبات آغازگری استفاده شده در تجزیه AFLP را نشان می‌دهد (جدول ۴). فراورده‌های واکنش زنجیره‌ای پلیمراز با استفاده از الکتروفورز ژل پلی‌اکریل آمید و اسربشته‌ساز شش درصد تفکیک و با روش نیترات نقره رنگ آمیزی شدند (شکل ۴).

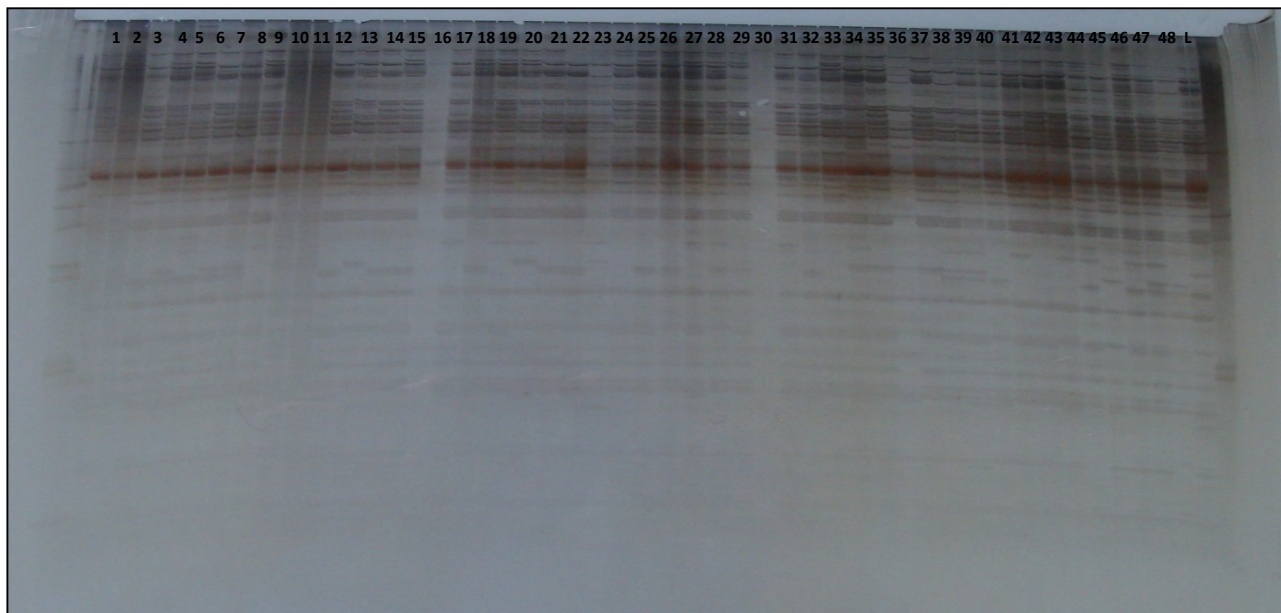
محصولات حاصل از تکثیر پیش انتخابی به نسبت ۱۰:۱ رقیق شده و با ۲۱ ترکیب (از ۳۵ ترکیب آغازگری) دارای ۲ نوکلوتید انتخابی دیگر در انتهای ۳' (علاوه بر یک Touch نوکلوتید در پیش تکثیر) تحت چرخه حرارتی down شامل سه مرحله دمایی مختلف تکثیر شدند (شکل ۳). اجزای واکنش برای تکثیر DNA و برنامه دمایی

جدول ۳- اجزای واکنش برای تکثیر DNA در مرحله پیش تکثیر

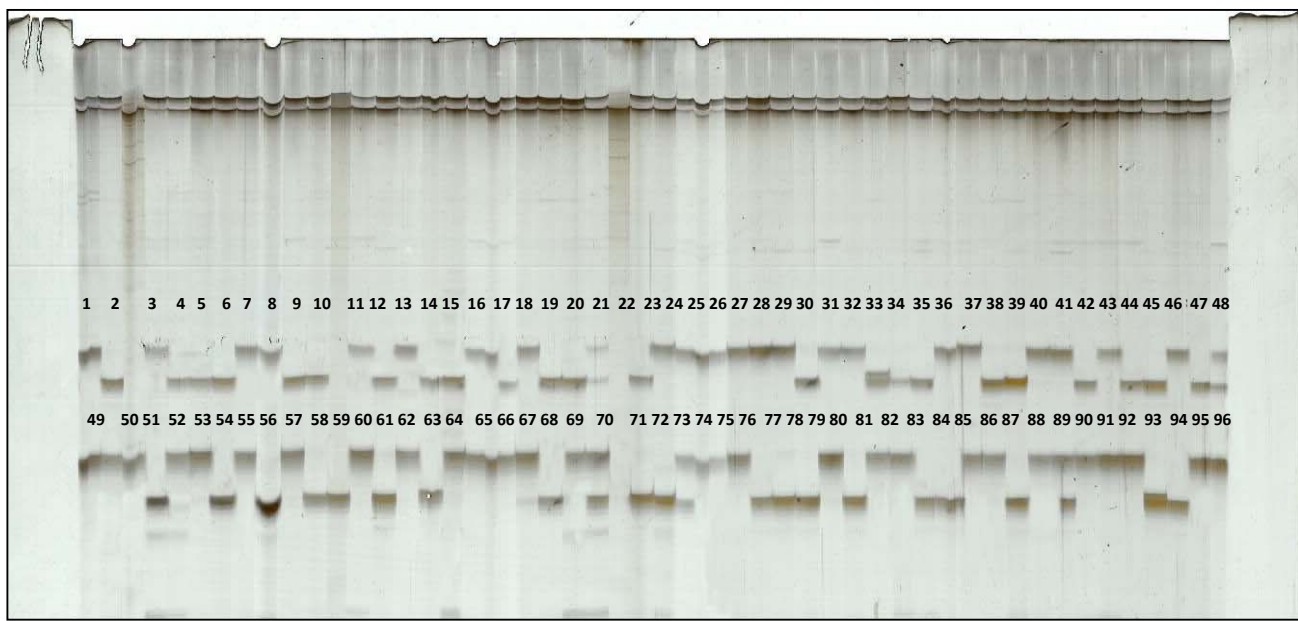
غاظت نهایی	برای یک واکنش (میکرولیتر)	اجزاء
—	۲	رقيق شده تکثیر مقدماتی DNA
یک برابر	۱/۵	بافر PCR (10X)
۲ میلی مولار	۰/۶	MgCl <sub>2</sub> (۱۰۰ میلی مولار)
۶۰ نانوگرم	۱	آغازگر MseI
۶۰ نانوگرم	۱	آغازگر EcoRI
۰/۲ میلی مولار	۱/۵	dNTPs (۲ میلی مولار)
یک واحد	۰/۲	Taq پلی‌مراز (۵ واحد در میکرولیتر)
—	۷/۲	آب دو بار تقطیر
	۱۵	جمع



شکل ۳- برنامه دمایی برای مرحله تکثیر انتخابی.



الف



ب

شکل ۴- نمونه‌ای از ژلهای حاصل از ترکیب آغازگری E080-M150 برای تعیین ژنوتیپ افراد ۱ تا ۴۸ (الف) و نشانگر RM128 برای تعیین ژنوتیپ افراد ۱ تا ۹۶ (ب)

جدول ۴- ترکیبات آغازگری استفاده شده در تجزیه AFLP

آغازگرهای EcoRI		آغازگرهای MseI	
نام	توالی DNA	نام	توالی DNA
E060	GACTGCGTACCAATTCAAG	M140	GATGAGTCCTGAGTAAAC
E070	GACTGCGTACCAATTCAAT	M150	GATGAGTCCTGAGTAAAGA
E080	GACTGCGTACCAATTACCG	M160	GATGAGTCCTGAGTAAAGT
E090	GACTGCGTACCAATTCACT		
E100	GACTGCGTACCAATTCACT		
E110	GACTGCGTACCAATTCACTC		
E120	GACTGCGTACCAATTCAATT		

حاصل از تلاقی عنبربو × سپیدرود ۱۹۵۰/۴ سانتی‌مورگان از ژنوم برنج را پوشش داد که متوسط فاصله بین نشانگرها ۵/۲۰ سانتی‌مورگان به دست آمد (جدول ۲). هر ۱۲ کروموزوم برنج واحد QTL بودند (شکل ۴ و ۵).

در مجموع تعداد ۵۴ ناحیه ژنومی حامل QTL برای ۱۸ صفت مورد مطالعه شناسایی گردید (جدول ۵). از این تعداد یک QTL برای تعداد ریشه، ۱۱ QTL برای میانگین طول ریشه‌ها، یک QTL برای مجموع طول ریشه‌ها، یک QTL برای تعداد ریشه‌های کمتر از ۵ سانتی‌متر، دو QTL

گروههای پیوستگی اولیه با استفاده از نرم افزار Map Manager QTbX17 (۱۹) با استفاده ازتابع کوزامی (۱۴) ایجاد شدند. پارامترهای ژنتیکی مرتبط با هر کدام از QTL‌های ردیابی شده با استفاده از نرم Composite Interval Cartographer v 2.5 (۹) و با روش Mapping (۳۱ و ۳۲) تخمین زده شدند.

## نتایج و بحث

نقشه پیوستگی به دست آمده از ۲۶۴ نوار چندشکل AFLP، ۱۲۴ نشانگر SSR و ۹۶ فرد نسل F<sub>8</sub> جمعیت

های شناسایی شده برای تعداد ریشه‌های کمتر از ۵ QTL سانتیمتر روی کروموزوم ۴ در حد فاصل نشانگری E110-M150-11-E080-M150 باعث افزایش تعداد ریشه‌های کمتر از ۵ سانتیمتر به میزان ۱۰/۸۱ سانتیمتر شدند.

برای تعداد ریشه‌های بین ۶-۷ سانتیمتر، دو QTL شناسایی شد که بر روی کروموزومهای ۳ و ۸ قرار داشتند. اثر افزایشی این QTL‌ها به ترتیب ۷/۰۶ و ۱۳/۶۲ سانتیمتر بود که در دو QTL آلل سپیدرود باعث افزایش تعداد ریشه‌های بین ۶-۷ سانتیمتر شد.

تنها یک QTL برای تعداد ریشه‌های بین ۸-۲۰ سانتیمتر مکانیابی شد که بر روی کروموزوم ۲ و بین نشانگرهای E070-M150-13-RM262 قرار داشت. اثر افزایشی آن ۹/۶۴ و LOD آن برابر با ۲۰/۳۶ بود. در این QTL آلل‌های والد سپیدرود باعث افزایش مقدار صفت مذکور شدند. این QTL فقط ۹/۳ درصد از تنوع فنوتیپی صفت تعداد ریشه‌های بین ۸-۲۰ سانتیمتر را توجیه نمود.

برای تعداد ریشه‌های بیشتر از ۳۰ سانتیمتر سه QTL روی کروموزومهای ۲، ۳ و ۹ با اثر افزایشی آلل سپیدرود رديابی شد. این مکانهای ثُنی کمی به ترتیب ۱۰/۲، ۱۲/۶ و ۱۵ درصد از تغییرات فنوتیپی تعداد ریشه‌های بیشتر ۳۰ سانتیمتر را توجیه نمودند (جدول ۲).

های مکانیابی شده برای تعداد ریشه بر روی کروموزومهای ۲، ۴، ۶ و ۹ قرار داشتند که همه این QTL‌های شناسایی شده اثر نسبتاً بزرگی بر روی تعداد ریشه داشتند. به غیر از qRNN-9 در سایر QTL‌ها آلل‌های عنبربو تعداد ریشه را کاهش دادند.

برای وزن تر ریشه، دو QTL بر روی کروموزومهای ۶ و ۹ مکانیابی شد. QTL‌های مکانیابی شده به ترتیب عبارت بودند از: qRWBN-6 که روی کروموزوم ۶ در فاصله نشانگری E120-M160-9-RM276 مکانیابی گردید و با

برای تعداد ریشه‌های بین ۶-۷ سانتیمتر، یک QTL برای تعداد ریشه‌های بین ۸-۲۰ سانتیمتر، سه QTL برای تعداد ریشه‌های بیشتر از ۳۰ سانتیمتر، چهار QTL برای ارتفاع گیاه، دو QTL برای وزن تر ریشه، دو QTL برای وزن QTL خشک ریشه، هفت QTL برای حجم ریشه، چهار QTL برای تعداد ریشه، یک QTL برای وزن خوش، ۸ QTL برای تعداد خوش، دو QTL برای وزن کاه، یک QTL برای طول خوش، دو QTL برای تعداد دانه پر در خوش و دو QTL برای تعداد خوش‌چه اولیه در خوش شناسایی شدند. بازده QTL برای میانگین طول ریشه‌ها شناسایی شد که این QTL‌ها بر روی همه کروموزومها به غیر از کروموزوم ۱۰ قرار داشتند. از بین QTL‌های شناسایی شده دو QTL بزرگ اثر تشخیص داده شد. qRMN-4 با  $LOD=3/914$  و qRMN-6 با  $LOD=3/914$  در فاصله نشانگری E060-M160-3-RM1359 قرار داشت. ۱۷/۱ درصد از واریانس فنوتیپی صفت مذکور را توجیه RM276 نمود. همچنین qRMN-6 که در مجاورت نشانگر ۱۸/۷ درصد از واریانس فنوتیپی میانگین طول ریشه‌ها را توجیه کرد. اثر افزایشی هر QTL منفرد ۹/۶۲ تا ۲۱/۵۵ متغیر بود و در QTL شناسایی شده آلل سپیدرود به طور متوسط ۱۵/۱۰ سانتیمتر میانگین طول ریشه‌ها را افزایش دادند. مک میلان و همکاران (۱۷) برای بیشترین طول ریشه دو QTL روی کروموزوم ۱ و روی کروموزومهای ۲، ۳، ۷ و ۹ نیز یک QTL در شرایط نرمال شناسایی کردند.

برای مجموع طول ریشه‌ها یک QTL روی کروموزوم ۲ و در جهت افزایش آن به اندازه ۱۶/۵۵ سانتیمتر رديابی شد. این QTL به تنهایی توانست ۱۵ درصد از تغییرات فنوتیپی را توجیه نماید. ونگ و همکاران (۲۸) در مطالعه‌ای که برای مکانیابی QTL‌های مرتبط با طول ریشه برج در شرایط نرمال با کشت هیدروپونیک داشتند، یک QTL برای طول ریشه روی کروموزوم هفت شناسایی کردند.

آل عنبربو به اندازه ۱۴/۲۲ سانتیمتر ارتفاع گیاه را افزایش داد. مشابه QTL ردیابی شده در این مطالعه که روی کروموزوم ۶ در فاصله نشانگرهای RM7434-۱ قرار داشت در مطالعه صبوری و همکاران (۲) نیز شناسایی شد که در فاصله نشانگرهای RM5371 و RM5371 قرار داشت در مطالعه صبوری و همکاران (۲) واقع بود. تنها QTL شناسایی شده برای وزن خوشها را روی کروموزوم ۵ در فاصله نشانگری قرار داشت. این QTL ۱۱/۵ درصد از تنوع فنتوتیپی وزن خوشها را توجیه کرد.

QTل‌های برای تعداد خوشها روی کروموزومهای ۱، ۴، ۵، ۶، ۷، ۸، ۹ و ۱۲ قرار داشتند. در QTL‌های qEN-12، qEN-8 و qEN-5 روی کروموزوم ۱، ۲، ۷ و ۱۱ شناسایی کردند. در حالی که در خصوص سایر QTL‌های عنبربو شده آلل‌های عنبربو باعث کاهش تعداد خوشها ردیابی شده آلل‌های عنبربو باعث کاهش تعداد خوشها شدند. صبوری و همکاران (۲) برای تعداد خوشها پنج QTL را روی کروموزومهای ۱، ۲، ۷ و ۱۱ شناسایی کردند. QTL ردیابی شده برای تعداد خوشها روی کروموزوم ۱ در این مطالعه از نظر موقعیت مکانی با QTL ردیابی شده در مطالعه آنها مطابقت داشت.

برای وزن کاه دو QTL بر روی کروموزومهای ۳ و ۶ ردیابی شد در هر دو QTL آلل‌های کاهش دهنده صفت از والد عنبربو منتقل شدند.

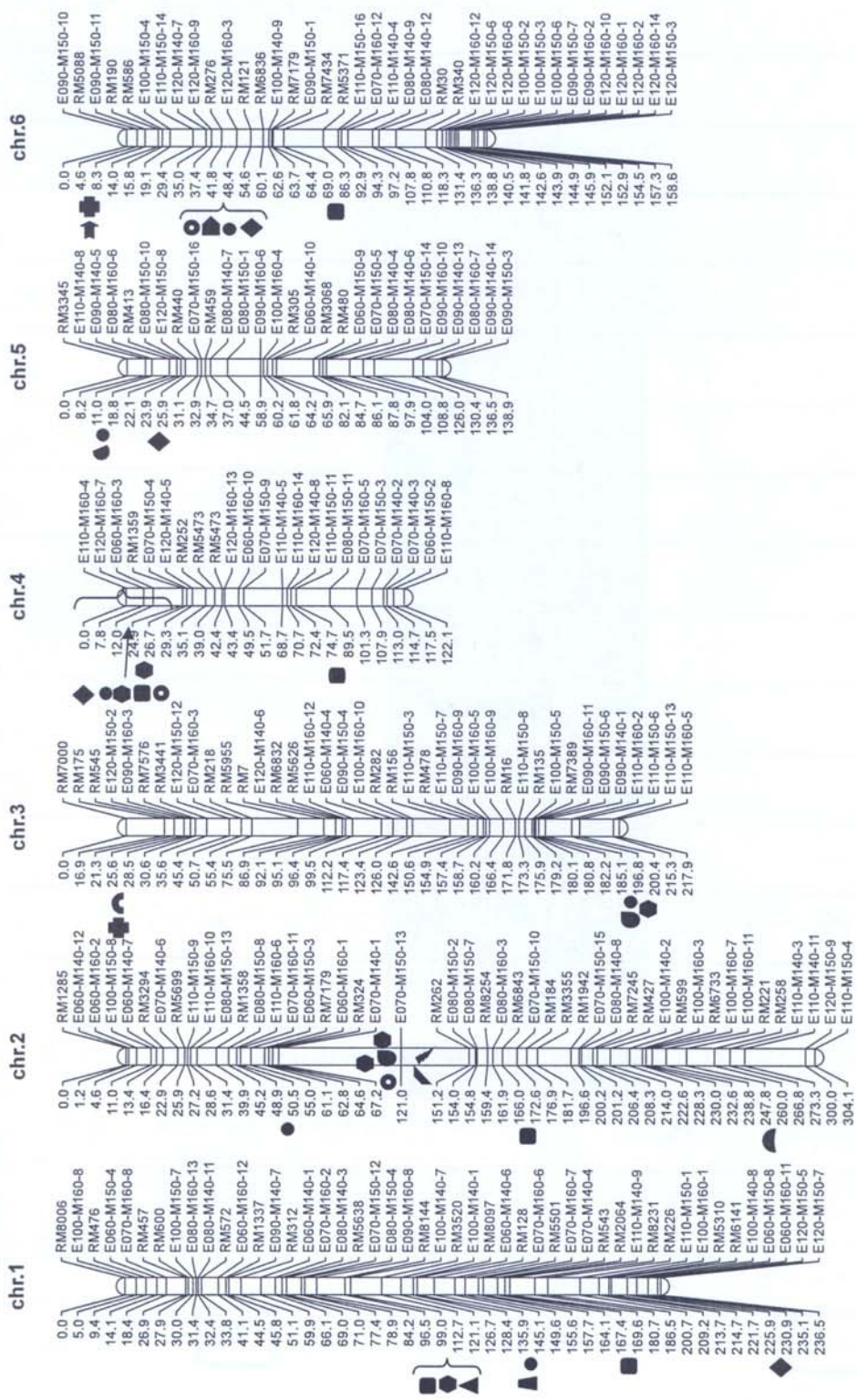
یک QTL برای طول خوشه شناسایی شد که روی کروموزوم ۱ در فاصله نشانگری E100-M140-7-1 قرار داشت و آلل‌های سپیدرود باعث کاهش طول خوشه شدند. صبوری و همکاران (۲) نیز یک QTL روی کروموزوم ۱ در فاصله نشانگری RM8115-RM466 برای طول خوشه شناسایی کردند. می و همکاران (۲۰) برای صفت طول خوشه سه QTL به نامهای qPL-۱ و qPL-۱۰ به ترتیب با میزان توجیه تغییرات فنتوتیپی ۸ و ۱۰/۲ و ۱۵/۶ درصد روی کروموزومهای ۲، ۸ و ۱۱/۲ مکانیابی نمودند.

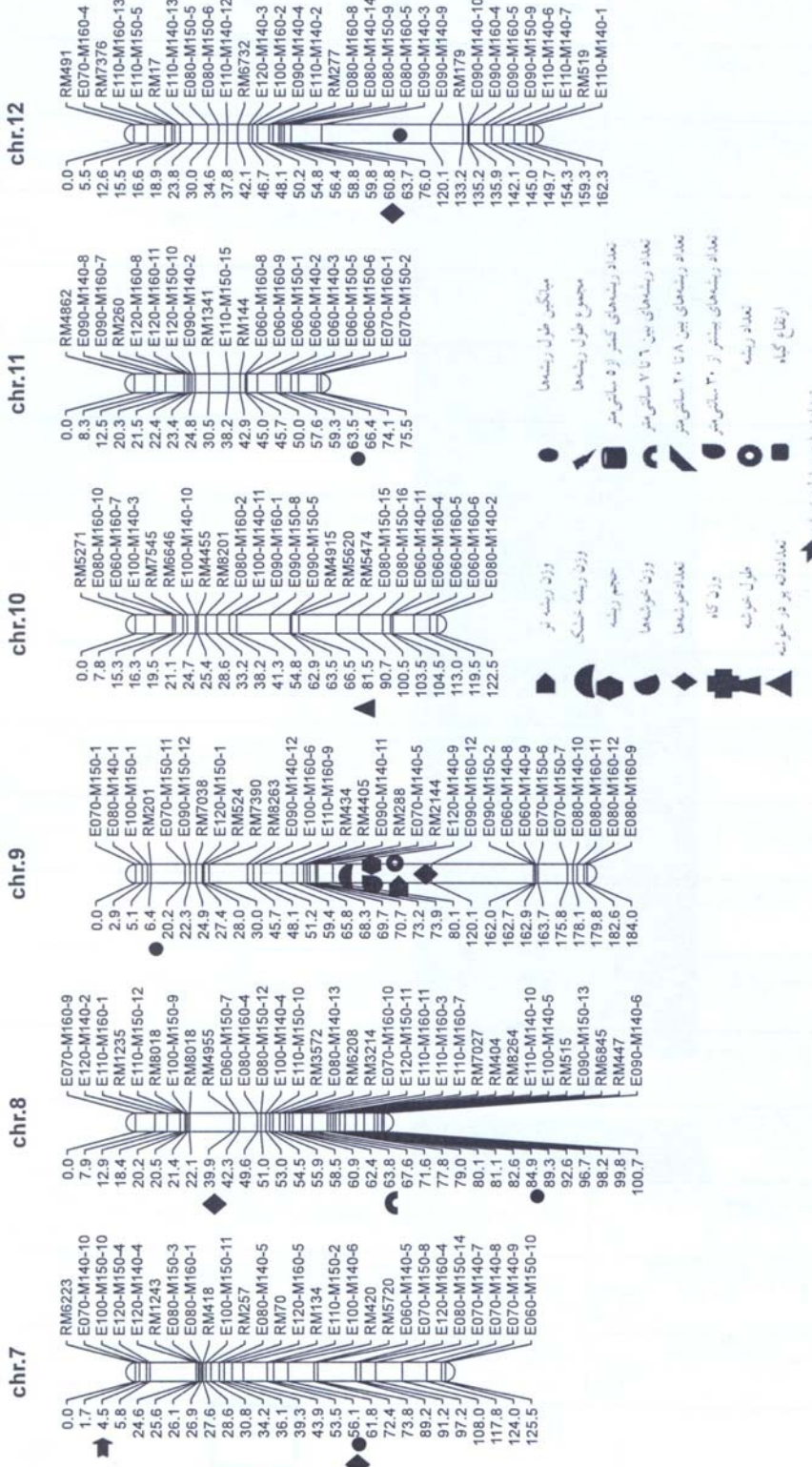
LOD برابر با ۲/۱۴۲ مقدار ۹/۸ درصد از واریانس فنتوتیپی صفت را توجیه کرد. qRWBN-9 روی کروموزوم ۹ در فاصله نشانگری ۲ E120-M140-9-E090-M150-2 شناسایی شد و با LOD برابر با ۲/۲۵۷ ۱۰/۳ درصد از واریانس فنتوتیپی صفت را توجیه کرد. کیو و همکاران (۱۱) برای وزن تر ریشه با اثر افزایشی روی کروموزوم-های ۱، ۲ (سه مورد)، ۳ (دو مورد)، ۶، ۷، ۸ و ۱۱ برج شناسایی کردند.

برای وزن خشک ریشه، دو QTL بر روی کروموزومهای ۲ و ۹ شناسایی شد که در آنها آل سپیدرود باعث افزایش وزن خشک ریشه شد. این QTL‌ها به ترتیب ۱۰/۲ و ۱۱/۹ درصد از تنوع صفت مذکور را توجیه نمودند. ونگ و همکاران (۲۸) یک QTL بر روی کروموزوم ۷ هفت در فاصله نشانگری RM3859-RM5436 برای وزن خشک ریشه شناسایی کردند.

هفت QTL کنترل کننده حجم ریشه بر روی کروموزومهای ۱، ۲ (دو مورد)، ۳، ۴ (دو مورد) و ۹ قرار داشتند. qRVN-4a، qRVN-2a، qRVN-4b و qRVN-1 به ترتیب با LOD برابر با ۵/۱۵۱ و ۵/۹۵۶ و ۶/۰۳۳ اثر نسبتاً بزرگی بر روی حجم ریشه داشتند و به ترتیب ۲۱/۹ و ۲۵/۱ درصد از تنوع فنتوتیپی را تبیین نمودند. در QTL‌های qRVN-3 و qRVN-9 آلل‌های عنبربو باعث کاهش حجم ریشه شدند. در حالی که در سایر QTL‌ها آلل‌های سپیدرود حجم ریشه را افزایش دادند. یو و همکاران (۳۰) با استفاده از جمعیت لاینهای خالص نوترکیب حاصل از تلاقی ارقام ۹۷ و Zhenshan IRAT109، برای صفت حجم ریشه در شرایط نرمال QTL‌هایی روی کروموزومهای ۱، ۲، ۳، ۴ و ۶ شناسایی کردند.

چهار QTL ردیابی شده برای ارتفاع گیاه بر روی کروموزومهای ۱، ۲، ۴ و ۶ قرار داشتند. در تمام این QTL‌ها آلل‌های عنبربو باعث افزایش ارتفاع گیاه شد. در





شکل ۵- نقشه پوستگی و موقعیت LQTL های شناسای شده در جمعیت لینهای اپندنوترکب حاصل از تلاقي عتبربر ✕ سپیدلور.

جدول ۵- نشانگرهای مجاور، LOD، موقعیت QTL، فاصله QTL به نزدیکترین نشانگر، اثر افزایشی، ضریب تبیین و جهت آلل برای ماهیات کنترل کننده صفات مریبوط به خصوصیات ریشه و اندام‌های هوایی

جهت آلل	ضریب تبیین	اثر افزایشی	نشانگر (سانتی متر)	موقعیت (سانتی متر)	LOD	کروموزوم	نشانگرهای مجاور*	QTL	صفت
QTL									
سیدرو	۱۶/۸	۱۹/۰۱۳	۳	۱۴۲	۳/۸۴	۱	RM128-E070-M160-6	<i>qRMN-1</i>	میانگین طول ریشه‌ها
سیدرو	۱۴/۴	۱۵/۰۱۶	۰/۱	۷۴	۲/۲۴۲	۱۱	E060-M150-6-E070-M160-1	<i>qRMN-11</i>	
سیدرو	۱۰/۸	۱۱/۳۶۷	۱۸	۹۴	۲/۳۸	۱۲	E090-M140-3-E090-M140-9	<i>qRMN-12</i>	
سیدرو	۱۵/۹	۱۷/۰۷۵	۰/۵	۵۰	۳/۶۰۶	۲	E110-M160-6-E070-M160-11	<i>qRMN-2</i>	
سیدرو	۱۱/۶	۱۱/۱۱۹	۴/۸	۱۹۲	۲/۴۴۴	۳	E090-M140-1-E110-M160-2	<i>qRMN-3</i>	
سیدرو	۱۷/۱	۱۹/۴۱۷	۰/۹	۲۴	۳/۹۱۴	۴	E060-M160-3-RM1359	<i>qRMN-4</i>	
سیدرو	۱۱/۹	۱۲/۴۶۴	۰/۸	۱۸	۲/۶۳	۵	E090-M140-5-E090-M160-6	<i>qRMN-5</i>	
سیدرو	۱۸/۷	۲۱/۰۵۵	۰/۲	۲۴	۲/۳۰۴	۶	RM276-E120-M160-3	<i>qRMN-6</i>	
سیدرو	۱۱/۸	۱۱/۳۶۲	۲/۴	۷۰	۲/۷۹	۷	RM420-RM5720	<i>qRMN-7</i>	
سیدرو	۱۴/۹	۱۶/۴۲۹	۰/۶	۹۲	۳/۳۵۸	۸	E100-M140-5-RM515	<i>qRMN-8</i>	
سیدرو	۹/۳	۹/۶۲	۰/۳	۲۲	۷/۱۰۱	۹	E070-M150-11-E090-M150-12	<i>qRMN-9</i>	
سیدرو	۱۵	۱۶/۰۵۵	۱۵	۱۳۶	۳/۳۸۲	۲	RM262-E080-M150-2	<i>qRLN-2</i>	مجموع طول ریشه‌ها
سیدرو	۱۰/۳	۱۰/۰۱۲	۱/۳	۷۶	۲/۲۷	۴	E110-M150-11-E080-M150-11	<i>qRNN-4</i>	تعداد ریشه‌های کمتر از ۵ سانتی‌متر
سیدرو	۱۵/۴	۱۷/۰۶۱	۰/۴	۲۶	۳/۲۷۷	۳	E120-M150-2-E090-M160-3	<i>qRNN-3</i>	تعداد ریشه‌های بین ۶ تا ۷ سانتی‌متر
سیدرو	۱۲/۷	۱۳/۶۲۳	۱/۶	۷۰	۲/۸۱	۸	E120-M150-11-E110-M160-11	<i>qRNN-8</i>	
سیدرو	۹/۳	۹/۶۴۳	۵	۱۲۶	۲/۱۳۶	۲	E070-M150-13-RM262	<i>qRNN-2</i>	تعداد ریشه‌های بین ۸ تا ۲۰ سانتی‌متر
سیدرو	۱۰/۲	۱۰/۶۶۹	۱	۱۲۰	۲/۲۴۱	۲	E070-M140-1-E070-M150-13	<i>qRNN-2</i>	تعداد ریشه‌های بیشتر از ۳۰ سانتی‌متر
سیدرو	۱۲/۶	۱۳/۵۴	۰/۸	۱۹۶	۷/۱۰۶	۳	E090-M140-1-E110-M160-2	<i>qRNN-3</i>	
سیدرو	۱۵	۱۶/۰۵۵	۱۸/۱	۱۰۲	۳/۳۸۲	۹	E120-M140-9-E090-M140-14	<i>qRNN-9</i>	
غیرپریو	۱۹/۵	-۲۶/۰۶۵	۱۳	۱۰۸	۲/۵۱۹	۲	E070-M140-1-E070-M150-13	<i>qRNN-2</i>	تعداد ریشه
غیرپریو	۲۱	-۸۷۸/۱۲۸	۲/۹	۲۲	۴/۹۱	۴	E060-M160-3-RM1359	<i>qRNN-4</i>	
غیرپریو	۱۷/۷	-۳۲۰/۹۸۹	۲/۲	۴۴	۴/۰۴۹	۶	RM276-E120-M160-3	<i>qRNN-6</i>	
سیدرو	۱۹/۷	۴۵۸/۲۱۶	۱۹/۹	۱۰۰	۴/۰۸۴	۹	E120-M140-9-E090-M140-14	<i>qRNN-9</i>	
غیرپریو	۱۳/۱	۱۴/۲۲۶	۵	۱۰۴	۲/۹۳۸	۱	E100-M140-7-RM3520	<i>qPHN-1</i>	ارتفاع گیاه
غیرپریو	۹/۵	۹/۸۱	۲	۱۶۸	۲/۰۶۹	۲	RM6843-E070-M150-10	<i>qPHN-2</i>	
غیرپریو	۹/۴	۹/۸۰۱	۹/۸	۱۸	۲/۰۶۸	۴	E060-M160-3-RM1359	<i>qPHN-4</i>	
غیرپریو	۱۱/۸	۱۷/۰۵۱	۱۰	۷۰	۲/۶۱	۶	RM7434-RM5371	<i>qPHN-6</i>	
سیدرو	۹/۸	۱۰/۱۷۳	۱/۸	۴۰	۲/۱۴۲	۶	E120-M160-9-RM276	<i>qRWBN-6</i>	وزن ریشه تر
سیدرو	۱۰/۳	۱۰/۰۵۱	۱۹/۹	۱۰۰	۲/۷۵۷	۹	E120-M140-9-E090-M140-14	<i>qRWBN-9</i>	
سیدرو	۱۰/۲	۱۰/۰۳۱	۲	۲۵۸	۲/۱۲۴	۲	RM221-RM258	<i>qRWAN-2</i>	وزن ریشه خشک
سیدرو	۱۱/۹	۱۲/۶۴۳	۱۹/۹	۱۰۰	۲/۶۹۱	۹	E120-M140-9-E090-M140-14	<i>qRWAN-9</i>	
غیرپریو	۱۵	-۱۹۶/۰۱۴	۵	۱۰۴	۳/۳۸۶	۱	E100-M140-7-RM3520	<i>qRVN-1</i>	حجم ریشه
سیدرو	۲۱/۹	۲۲۶/۰۳۳	۱۵	۱۶۶	۵/۱۵۱	۲	E070-M140-1-E070-M150-13	<i>qRVN-2a</i>	
سیدرو	۹/۹	۱۱۸/۰۵۶	۷	۱۱۴	۲/۱۷۵	۲	E070-M140-1-E070-M150-13	<i>qRVN-2b</i>	
غیرپریو	۱۰/۹	-۲۶۸/۰۶۸۷	۱/۲	۱۹۸	۲/۳۹۸	۳	E110-M160-2-E110-M150-6	<i>qRVN-3</i>	
سیدرو	۲۲/۹	۲۸۲/۰۳۶	۸/۹	۱۶	۵/۹۵۶	۴	E060-M160-3-RM1359	<i>qRVN-4a</i>	
سیدرو	۲۵/۱	۲۶۳/۰۴۶	۰/۷	۲۶	۶/۰۱۳	۴	RM1359-E070-M150-4	<i>qRVN-4b</i>	
غیرپریو	۱۱/۵	-۳۲۱/۰۷۶	۱۴/۱	۱۰۶	۲/۵۵۱	۹	E120-M140-9-E090-M140-14	<i>qRVN-9</i>	
غیرپریو	۱۱/۵	۱۱۵/۰۱۷۸	۰/۸	۱۸	۲/۰۴۵	۵	E090-M140-5-E090-M160-6	<i>qEW-5</i>	وزن خوش‌ها
غیرپریو	۱۲/۴	-۱۳۸/۰۳۹	۲/۱	۲۲۸	۲/۷۶	۱	E060-M150-8-E060-M160-11	<i>qEN-1</i>	تعداد خوش‌ها
سیدرو	۱۲/۷	۱۳۷/۰۳۸	۱/۲	۶۲	۲/۱۸۳	۱۲	E080-M150-9-E080-M160-5	<i>qEN-12</i>	
غیرپریو	۱۲/۸	-۲۵۴/۰۷	۱۰/۹	۱۴	۲/۰۵	۴	E060-M160-3-RM1359	<i>qEN-4</i>	
سیدرو	۱۱/۶	۱۲/۰۴۳	۰/۱	۲۴	۲/۰۵۷	۵	E080-M150-10-E120-M150-8	<i>qEN-5</i>	
غیرپریو	۱۰/۳	-۵۶۶۸	۰/۲	۴۲	۲/۷۲۴	۶	RM276-E120-M160-3	<i>qEN-6</i>	
غیرپریو	۱۳/۵	-۷/۱۱۹	۴/۴	۶۸	۳/۰۲۹	۷	RM420-RM5720	<i>qEN-7</i>	
سیدرو	۹/۳	۶/۰۸۰۳	۳/۶	۲۶	۲/۰۴۱	۸	E060-M150-7-E080-M160-4	<i>qEN-8</i>	
غیرپریو	۹/۳	-۱۹/۰۶۱	۰/۹	۸۶	۲/۰۴۹	۹	E120-M140-9-E090-M140-14	<i>qEN-9</i>	
غیرپریو	۱۱/۱	-۲۵/۰۷۹	۰/۵	۲۸	۲/۴۴۳	۳	E120-M150-2-E090-M160-3	<i>qCW-3</i>	وزن کاه
غیرپریو	۹/۸	-۱۲۵/۰۷۹	۰/۳	۸	۲/۱۵۸	۶	RM5088-E090-M160-11	<i>qCW-6</i>	
سیدرو	۱۰/۹	-۱/۰۷	۳/۱	۱۴۲	۲/۳۹۷	۱	RM128-E070-M160-6	<i>qEL-1</i>	طول خوش
سیدرو	۱۰/۲	-۲۰/۰۷۶	۶/۷	۱۰۶	۲/۱۲۱	۱	E100-M140-7-RM3520	<i>qSFN-1</i>	تعداد دانه پر در خوش
سیدرو	۱۰/۷	-۳۶/۰۹۸	۳/۵	۱۰۸	۲/۳۵۵	۱۰	E060-M160-4-E060-M160-5	<i>qSFN-10</i>	
سیدرو	۱۱/۳	-۱۸/۰۵۰	۰/۷	۸	۲/۵۰۸	۶	RM5088-E090-M160-11	<i>qPPN-6</i>	تعداد خوش‌چه اولیه خوش
غیرپریو	۱۲/۵	۲/۰۶۹	۰/۲	۶	۲/۰۷۷	۷	E120-M150-4-E120-M140-4	<i>qPPN-7</i>	

\*: نشانگرهایی که زیرشان خط کشیده شده به QTL مربوطه نزدیکتر هستند.

نshanگرهاي مولکولي انجام شد. بررسی صفات مورد مطالعه دليل بر وجود اثرات پليوتروپي يا همبستگي بين زنهای كتترل كننده بود. QTLهاي مربوط به حجم ريشه، تعداد دانه پر در خوشه و ارتفاع گياه روي کروموزوم ۱، QTLهاي مربوط به ميانگين طول ريشه، ارتفاع گياه، حجم ريشه، تعداد ريشه و تعداد خوشه روی کروموزوم ۴ و QTLهاي مرتبط با طول ريشه، تعداد ريشه و تعداد خوشه روی کروموزوم ۶ اين اثرات را مورد تأييد قرار داد که از اين نواحي می‌توان در انتقال ژن يا در هرمي کردن ژنهای برای اصلاح لانيهای مطلوب مورد استفاده قرار گيرد. qRNN-4، qRVN-4b، qRVN-4a، qRVN-2a QTLهاي M140-7-RM3520 درصد از صفت مذكور را توجيه نمود. در فاصله نشانگری E100-10/۲ با LOD ۲/۲۳۱ مقدار qSFN-10 در فاصله نشانگری E060-M160-4-E060 با LOD ۲/۳۵۵ توانست ۱۰/۷ درصد از تنوع فنتوبيي صفت را توجيه نمود. در مطالعه‌اي که ليو و همكاران (۱۵) برای تجزие QTL عملکرد دانه در برنج از ۱۲۹ جمعيت دابل هاپلوييد مشتق از تلاقي ارقام IR64 و Azucena استفاده نمودند و توانستند هشت QTL روی کروموزومهاي ۱، ۲، ۳، ۴، ۷، ۸ (دو مورد) و ۱۲ شناسايي کردن.

برای تعداد خوشه‌چه اوليه در خوشه دو QTL بر روی کروموزومهاي ۶ و ۷ شناسايي شد. در qPPN-6 آللهاي سپيدرود باعث کاهش تعداد خوشه‌چه اوليه در خوشه شدند. در حالی که در qPPN-7 آللهاي عنبربو باعث افزایش تعداد خوشه‌چه اوليه در خوشه شدند. رحمن و همكاران (۲۲) نيز يك QTL برای تعداد خوشه‌چه روی کروموزوم ۶ در مجاورت نشانگر S6065.8 در دو جمعيت مورد بررسی (F<sub>2</sub> و F<sub>3</sub>) شناسايي کردن.

### نتيجه‌گيري

امروزه از نشانگرهاي مولکولي در مطالعات تنوع ژنتيكي، تهييه نقشه ژنتيكي و مكانيايي ژنهای استفاده می‌شود (۱) و (۷). مطالعه حاضر به منظور تعين مكانهای ژنی كتترل كننده صفات کمي در برنجهاي بومي ايران با استفاده از

### منابع

۲. صبوری، ح. محمدي‌ژزاد، ق و عبادي، ع. ۱۳۹۱. بررسی اثر ژنهای و تهييه نقشه پيوستگي در جمعيت برنج ايراني حاصل از تلاقي ارقام غريب × خزر. مجله علوم کشاورزی: (۲): ۳۵-۵۲.
۳. صبوری، ح. صبوری، ع. جعفريان، ح. ا. جعفرزاده، م. ر. سجادی، س. ج و ملاشاهي، م. ۱۳۹۰. معرفی ارقام برنج متتحمل (مجله زیست‌شناسی ایران): جلد ۲۶ (۲): ۱۷۳-۱۶۴.

۶. صبوری، ح، محمدآلق، ش، بیبانی، ع، دادرس، ا. ر، صبوری، ع، کاتوزی، م، نجارعجم، م، پیراسته، م و خاتمی نژاد، ر. ۱۳۹۳. شناسایی مکانهای ژنی کنترل کننده مولفه‌های جوانهزنی در جمعیت لایهای نوتروکیپ برنج ایرانی (*Oryza sativa* L.) تحت شرایط مختلف تنش. زیست فناوری گیاهان زراعی: ۸۴۵-۳۱.
۷. قربانزاده نقاب، م و افضل، ر. ۱۳۹۴. ارزیابی تنوع ژنتیکی توده‌های ایرانی و ژنوتیپ‌های خارجی گلنگ (*Carthamus tinctorius*) با استفاده از صفات مورفو‌لوزیکی و نشانگر مولکولی RAPD. مجله پژوهش‌های سلولی و مولکولی (مجله زیست‌شناسی ایران)؛ جلد ۲۸ (۱): ۱۰۶-۹۴.
8. Ando, T., Yamamoto, T., Shimizu, T., Ma, X.F., Shomura, A., Takeuchi, Y., Lin, S.Y and Yano, M. 2008. Genetic dissection and pyramiding of quantitative traits for panicle architecture by using chromosomal segment substitution lines in rice. *Theoretical Applied Genetics*, 116: 881-890.
9. Basten, C.J., Weir, B.S., and Zeng, Z.B. 2001. QTL Cartographer: A Reference Manual and Tutorial for QTL Mapping. North Carolina State Univ. Press. Rigly. NC. USA, 230p.
10. Chen, X., Temnykh, S., Xu, Y., Cho, Y. and McCouch, S.R. 1997. Development of a microsatellite framework map providing genome-wide coverage in rice (*Oryza sativa* L.). *Theoretical Applied Genetics*, 95: 553-567.
11. Dong, Y., Tsuzuki, E., Dongzhi, L., Kamiunten, H., Terao, H., Matsuo, M and Cheng, S. 2004. Molecular genetic mapping of quantitative trait loci for milling quality in rice (*Oryza sativa* L.). *Cereal Science*, 40: 109-114.
12. Falconer, D.S and Mackay, T.F.C., 1996. Introduction to Quantitative Genetics. 4th edition Longman, Harlow, UK.
13. Hittalmani, S., Shahidhar, H.E., Bagali, P.G., Huang, N., Sidhu, J.S., Singh, V.P and Kush, G.S. 2002. Molecular mapping of quantitative trait loci for plant growth, yield and yield related traits across three diverse locations in a doubled haploid rice population. *Euphytica*, 125: 207-214 .
14. Kosambi, D. D. 1944. The estimation of map distances from recombination values. *Ann. Eugen.* 12: 172-175.
15. Liu, GF., Yang, J., Xu, H.M., Hayat, Y and Zhu J. 2008. Genetic analysis of grain yield conditioned on its component traits in rice به خشکی برای منطقه گند کاووس. گزارش نهایی طرح پژوهشی. دانشگاه گند کاووس.
۴. صبوری، ح، صبوری، ع و خاتمی نژاد، ر. ۱۳۹۱. مکانیابی QTL‌های برخی صفات مرتبط با تحمل به خشکی در برنج. مجله تولید و فرآوری محصولات زراعی و باغی. سال دوم. شماره چهارم. صفحات ۱۱-۱.
۵. صبوری، ح، محمدآلق، ش، بیبانی، ع، دادرس، ا. ر، صبوری، ع، کاتوزی، م، نجارعجم، م، پیراسته، م و خاتمی نژاد، ر. ۱۳۹۱. تعیین ارتباط بین ژنوتیپ و فتوتیپ در جمعیت برنج ایرانی تحت تنش خشکی. گزارش نهایی طرح پژوهشی. دانشگاه گند کاووس.
- (*Oryza sativa* L.). *Australian Journal of Agricultural Research*, 59: 189-195.
16. Maclean, J and Hettel G. 2007. Bringing hope improving lives. *Rice Today*. 6: 30-35.
17. MacMillan, K., Emrich, K., Piepho, H.P., Mullins, C.E and Price A.H. 2006. Assessing the importance of genotype × environment interaction for root traits in rice using a mapping population. II: Conventional QTL analysis. *Theoretical and Applied Genetics*, 113: 953-964.
18. McCouch, S.R., Teytelman, L., Xu, Y.B., Lobos, K.B., Clare, K., Walton, M., Fu, B., Maghirang, R., Li, Z.K., Xing, Y.Z., Zhang, Q.F., Kono, I., Yano, M., Fjellstrom, R., DeClerck, G., Schneider, D., Cartinhour, S., Ware, D and Stein, L. 2002 Development and mapping of 2240 new SSR markers for rice (*Oryza sativa* L.). *DNA Researche*, 9: 199-207.
19. Manly, K.F and Olson JM. 1999. Overview of QTL mapping software and introduction to Map Manager QTX. *Mammalian Genome*. 10: 327-334.
20. Mei, H.W., Luo, L.J., Ying, C.S and Wang, Y.O. 2003. Gene actions of QTLs affecting several agronomic traits resolved in a recombinant inbred population and two testcross populations. *Theoretical and Applied Genetics*, 107: 89-101.
21. Qu, Y., Mu, P., Zhang, H., Chen, C.Y., Gao, Y., Tian, Y., Wen, F and Li, Z. 2008. Mapping QTLs of root morphological traits at different growth stages in rice. *Genetica*, 133(2):187-200.
22. Rahman, L., Khanam. M,S and Koh, H.J. 2008. QTL Analysis for Yield Related Traits Using Populations Derived from an *Indica-Japonica* Hybrid in Rice (*Oryza sativa* L.). *Journal Genetic. Plant Breeding* 44, (3): 93-104.

23. Saghi Maroof, M.A., Biyashev, R.M., Yang, G.P., Zhang, Q and Allard, R.W. 1994. Extraordinarily polymorphic microsatellites DNA in barely species diversity, chromosomal location, and population dynamics. *Proceedings of the National Academy of Sciences U.S.A.*, 91: 5466-5570.
24. Themnykh, S.D., Park, N.A., Cartinnour, N.H., Lipovhch, L., Cho, Y.J., Ishii, T and McCouch, S.R. 2000. Mapping and genome rganization of micro satellite sequences in rice (*Oryza Sativa* L.). *Theoretical Applied Genetics*, 100: 697-712.
25. Trachsel, S., Kaepller, S.M., Brown, K.M and Lynch, J.P. 2011. Shovelomics: high throughput phenotyping of maize (*Zea mays* L.) root architecture in the field. *Plant and Soil*, 341: 75-87.
26. Uga. Y., Okuno, K and Yano, M. 2011. *Drol*, a major QTL involved in deep rooting of rice under upland field conditions. *Journal of Experimental Botany*, 62 (8): 2485–2494.
27. Vos, P., Hogers, R., Bleeker, M., Reijans, M., Lee, T.V.D., Hornes, M., Frijters, A., Pot, J., Peleman, J., Kuiper, M and Zabeau, M. 1995 AFLP: a new technique for DNA fingerprinting. *Nucleic Acids Research*, 23: 4407-4414.
28. Wang, H., Xu, X., Zhan, X., Zhai, R., Wu, W., Shen, X., Dai, g., Cao, L and Cheng, S.H. 2013. Identification of qRL7, a major quantitative trait locus associated with rice root length in hydroponic conditions. *Journal of Breeding Science*, 63: 267-274.
29. Yoshida S. 1981. Fundamentals of Rice Crop Science. International Rice Research Institute press. 277pp
30. Yue, B., Xue, W., Xiong, L., Yu, X., Luo, L., Cui, K., Jin, D., Xing, Y and Zhang Q. 2006. Genetic Basis of Drought Resistance at Reproductive Stage in Rice: Separation of Drought Tolerance from Drought Avoidance. *Genetics*, 172: 1213–1228.
31. Zeng, Z. B. 1993. Theoretical basis of separation of multiple linked gene effects on mapping quantitative trait loci. *Proceeding of the National Academy of Sciences USA*. 90: 10972–10976.
32. Zeng, Z. B. 1994. Precision mapping of quantitative trait loci. *Genetics* 136: 1457–1468

## Detection of genes controlling morphological traits of root and shoot for Iranian rice recombinant inbred lines caused Anbarboo×spidroud crosses

Sabouri H.<sup>1</sup>, Mohammad Alegh Sh.<sup>2</sup>, Karimkoshte R.<sup>3</sup> and Najar Ajam M.<sup>4</sup>

<sup>1</sup> Plant Production Dept., College of Agriculture Science and Natural Resources, Gonbad Kavous University, I.R. of Iran

<sup>2</sup> Biotechnolgy Dept., College of Agriculture Science and Natural Resources, Gonbad Kavous University, Gonbad Kavous, I.R. of Iran

<sup>3</sup> Plant Production Dept., College of Agriculture Science and Natural Resources, Karaj Payam Noor, Karaj, I.R. of Iran

<sup>4</sup> Agronomy & Plant Breeding Dept., Faculty of Agriculture Sciences, University of Guilan, Rasht, I.R. of Iran

### Abstract

In order to detect QTLs controlling root and shoot morphological traits, 96 lines from a cross between two varieties Sepidroud and Anbarboo were sown in Research farm located in the Ali Abad city in 2011. Evaluated traits were included average of root length, total root length, number of roots less than 5 cm, the number of roots between 7-6 cm the number of roots between 20-8 cm, number of roots more than 30 cm, root number, plant height, root fresh weight, root dry weight, root volume and weight of the clusters, the number of clusters, straw weight, panicle length, number of grains per panicle, primary spikelets per panicle. Linkage map was constructed using 124 microsatellite markers and 264 AFLP markers during the years 2011 to 2012 in the Laboratory of Genetics and Plant Breeding in Gonbad Kavous University. In the linkage map 1950.4cM of the rice genome has been covered. In this study region of E100-M140-7-RM3520, E060-M160-3-RM1359 aand RM276-E120-M160-3 controlled several traits in normal conditions in chromosomes 1, 4 and 6, respectively. The results showed that the QTLs controlling root dry weight, root fresh weight and number root overlaped with each other on chromosome 7. QTLs for root volume (qRVN-2a, qRVN-4a and qRVN-4b) and roots (QRNN-4) were identified as major effect QTLs. These QTLs explained more than 20% of the phenotypic variation. The detected major effect QTLs in this study can be used in marker-assisted selection breeding programs after validation.

**Key words:** Rice (*Oryza sativa* L.), AFLP, SSR, QTL Mapping, Marker assisted selection